

KAWASAKI STEEL GIHO

Vol.13 (1981) No.1

Development of Manufacturing Techniques of Small Diameter ERW Pipe

(Shuzo Watanabe)

(Norihiko Kano)

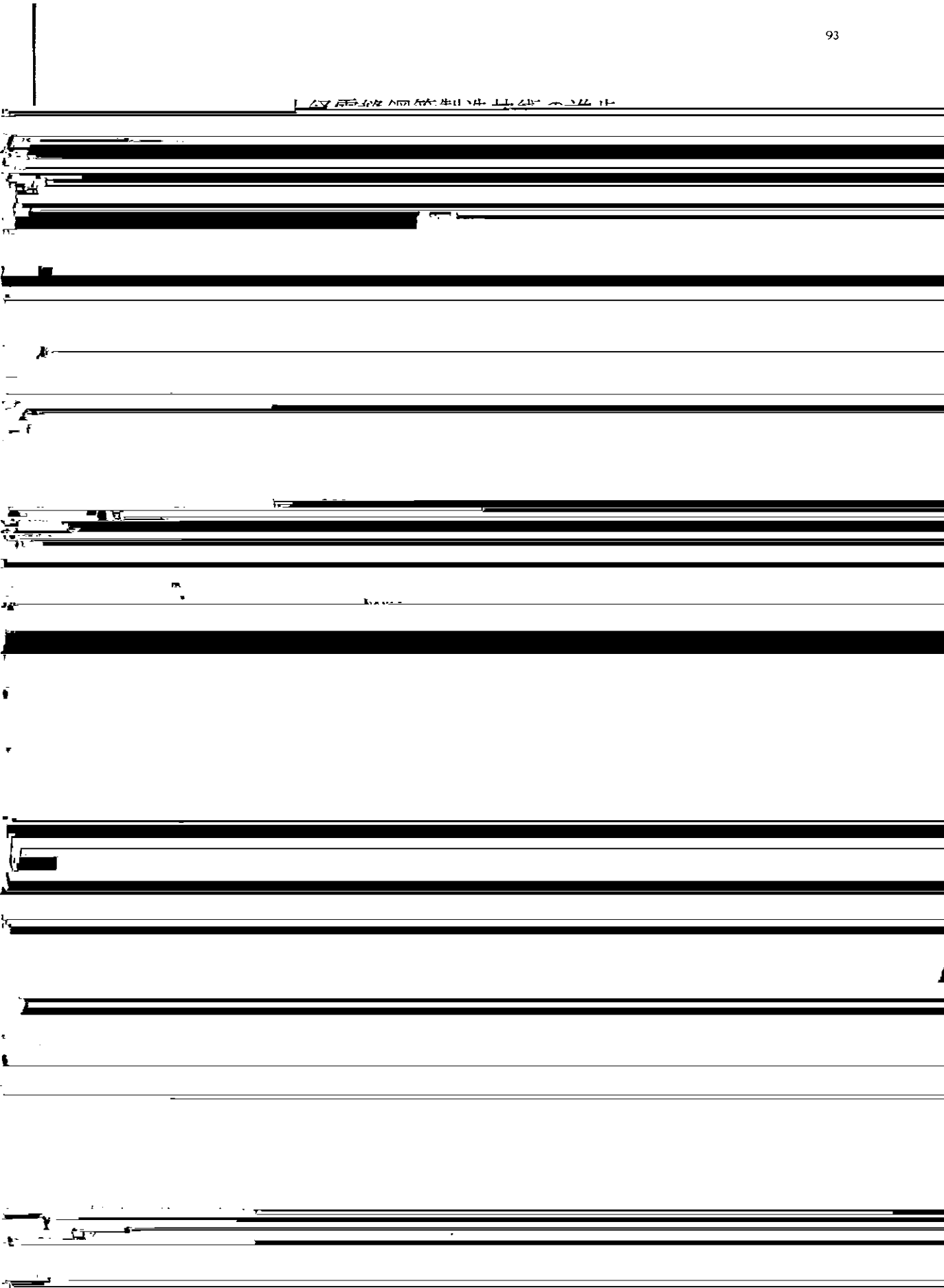




Table 1 Specifications of 2" and 6" mill

Production status			
Available size range Outer dia. dimension (mm)	Φ12~Φ25	Φ12~Φ25	Φ12~Φ25

$$+ D \cdot \frac{\theta - \theta_s}{\theta_s} \cdot E_s \quad \dots \dots \dots \quad (2)$$

ここで

t : 帯鋼板厚

v : 溶接速度

3・2 入熱制御について

健全な溶接品質を得るために、適切な圧接力と溶接温度が必要である。

圧接力については直接測定することができない

p : スクイズ圧力

E_s : 入熱量

ので、スクイズロール前後の周長差を巻尺で測定

してアセット量を算出し、この値を用いて圧接力

E_s : 入熱量

k, A, B, C, D : 定数

ここで (2) 式を基本関数と Fig. 2 に示す

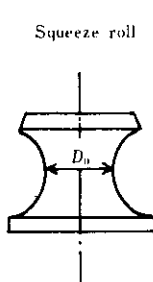
を管理していた。しかし測定環境が悪いうえに、

アセット量の値が小さいために測定誤差が生じ

やすく品質にバラツキの原因となっていた。

制御システムを用いて、従来オペレータの目視判定にまかせていた入熱操作に代って自動化を図ろうとするものである。

そこで Fig. 3 に示すようにアセット量とスクイズ圧力の間に相関があることから、スクイズ圧力を使用しても圧接力の初期設定値として十分有



	Size (mm) and Grade	Amount of upset I_m (mm)
○	34.0φ×3.4t STPG 38	1.0→1.5→2.0
●	34.0φ×4.5t STPG 38	0.8→1.2→1.7
△	42.7φ×3.6t STPG 38	0.9→1.4→1.9
▲	42.7φ×4.9t STPG 38	0.7→1.2→1.7
×	60.3φ×4.83t J 55	0.9→1.5→2.1
□	60.3φ×7.0t STB 33	0.7→1.2→1.7

効であることがわかる。

溶接钢管の内面の内部不純物除去。

ますます増加することが期待される。

工具の活性化による溶接技術の発展。

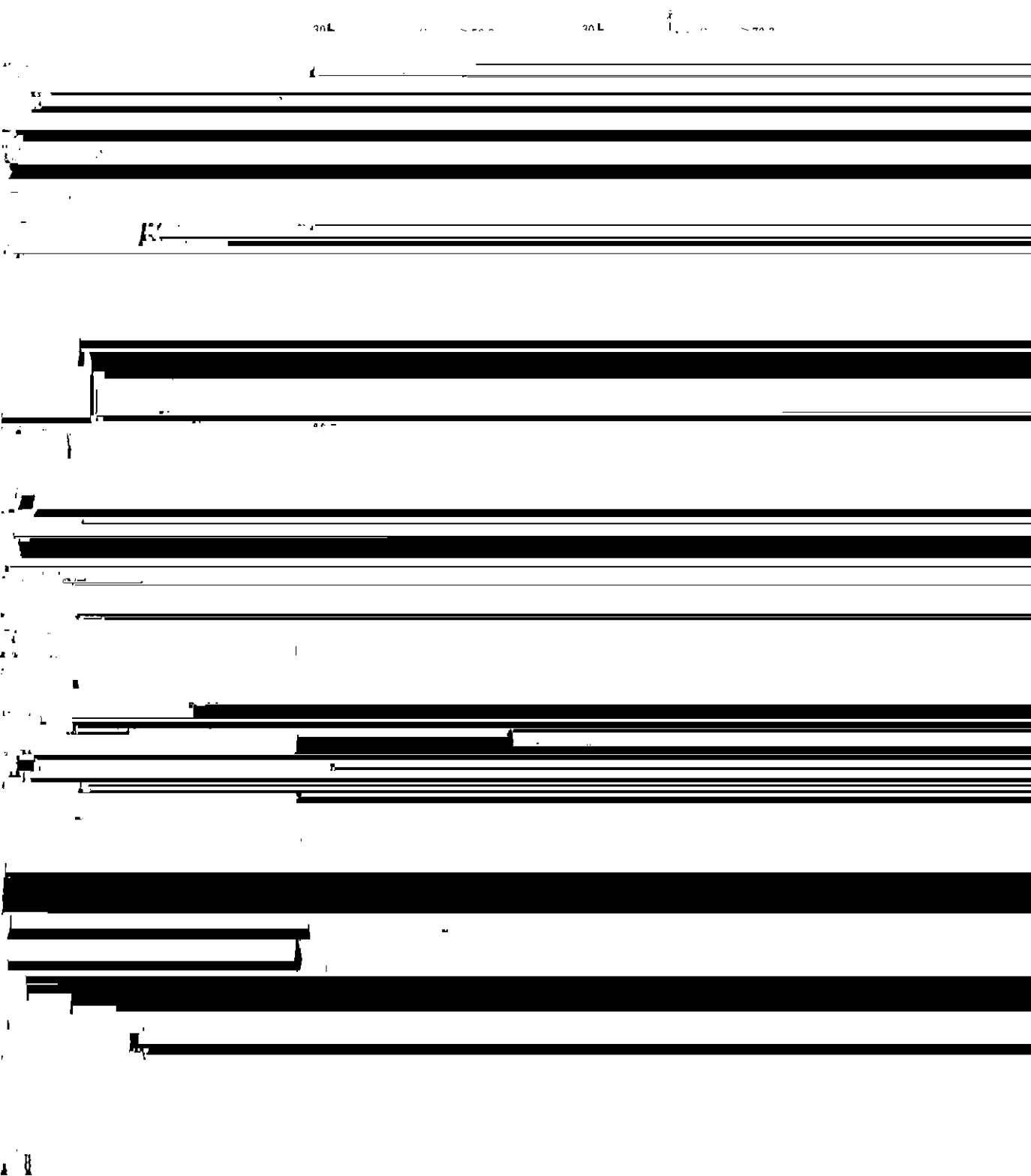


Table 2 Chemical compositions of penetrator in Cr bearing low-alloy ERW steel pipes

Chemical composition of nines (wt %) | Chemical composition of pentastarch (wt %)

態図を Fig. 9 に示すが Fig. 9 (b) の谷底部分.

示す。FeO の増加につれて最低溶融温度および

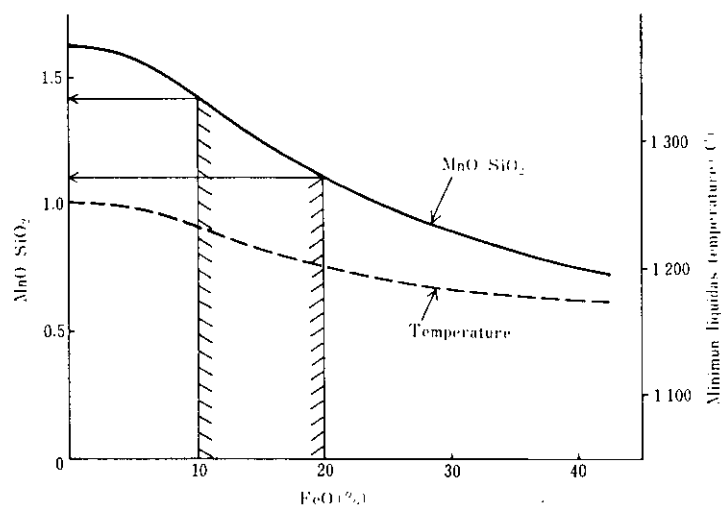


Fig. 10 Relation between MnO/SiO_2 and FeO percentage in the minimum liquidas-temperature range



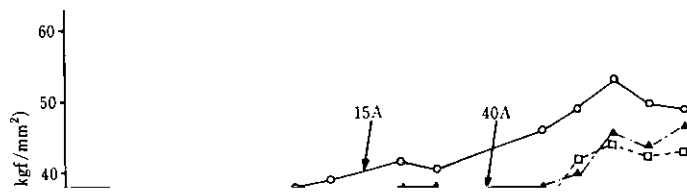
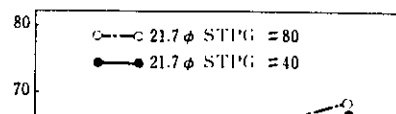


Table 5 Effect of surface temperature on various pipe sizes



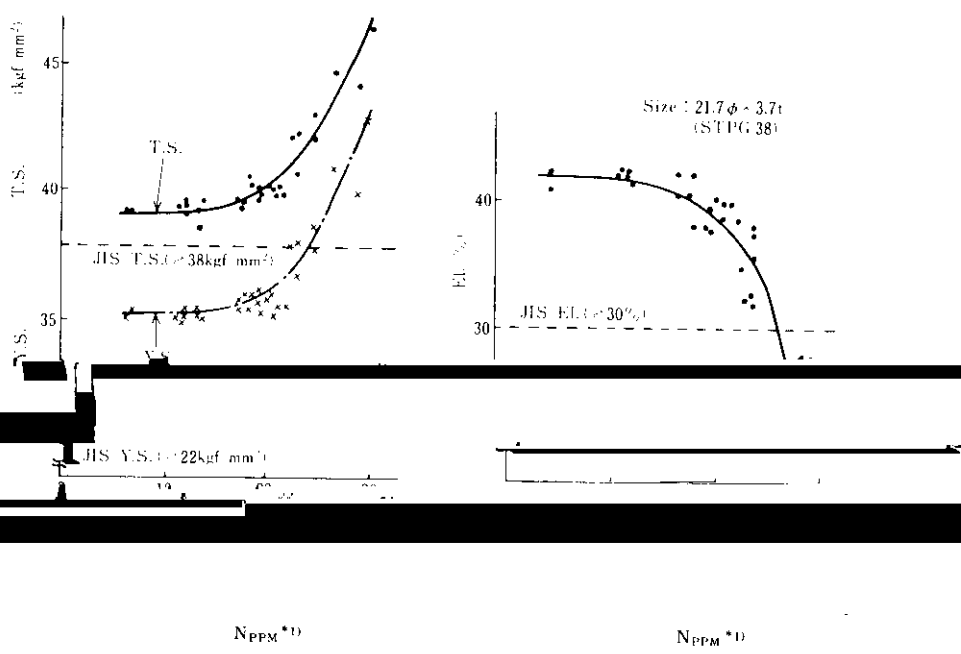


Fig. 17 Effect of free N on the mechanical properties of pipes

める比率が増加しており、この傾向は今後とも続

くあるが、現在さらに厚肉材を対象とした新